



دانشگاه صنعتی سمند

نشریه سلامانه های غیرخطی در مهندسی برق

دوره ۵ - شماره ۱

بهار و تابستان ۱۳۹۷

صفحه ۱۱۴ الی ۱۰۴

ISSN: 2322-3146

<http://jnsee.sut.ac.ir>

چکیده

در این مقاله مطالعه تحلیلی اثرات غیرخطی تلفات فشردگی لایه نازک در نوسانگرهای میکروالکترومکانیکی حلقوی با تکیه گاه مرکزی در فرکانس های رادیویی ارائه می شود. در این راستا، تغییرات ضربی میرایی و ثابت فنر ناشی از این پدیده مطالعه شده و نحوه اثرگذاری آن بر روی ضربی کیفیت نوسانگر مورد بحث قرار خواهد گرفت. معادلات تحلیلی نشان می دهد که با توجه به سختی بسیار بالای ساختار نوسانگر جابجایی فرکانسی و میرایی ناشی از این اثر، مقدار کوچکی است. بر اساس معادلات استخراج شده در این مقاله، برای نوسانگر طراحی شده نیازی به بسته بندی خلاء گران قیمت به منظور افزایش ضربی کیفیت وجود ندارد. استخراج این معادلات و ارائه روش تحلیل، یک نقطه عطف در بررسی نوسانگرهای از نقطه نظر بسته بندی، فرآیند ساخت و هزینه تمام شده می باشد.

واژه های کلیدی

سامانه های میکروالکترومکانیکی
فرکانس رادیویی،
نوسانگرهای دیسک حالت
محیطی با تکیه گاه حلقوی،
نوسانگر،
اثر فشردگی لایه نازک،
بسته بندی،
معادلات غیرخطی ارتعاش.



Sahand University
of Technology

Journal of Nonlinear
Systems in Electrical
Engineering

Vol.5, No.1,
Spring and Winter 1397

ISSN: 2322 – 3146
<http://jnsee.sut.ac.ir>

Study of the Nonlinear Effects of Squeeze Film Damping in RF MEMS Ring Resonators

Masoud Baghelani

Corresponding Author, Assistant Prof., Engineering Faculty, Ilam University, Ilam, Iran,
m.baghelani@ilam.ac.ir

ABSTRACT

Keywords

RF MEMS,
ring shape anchored contour
mode ring resonators,
resonator, squeeze film effect,
packaging,
vibration nonlinear equations.

This paper presents analytical study of the nonlinear effects of squeeze film damping on ring shape anchored RF MEMS contour mode ring resonators. In the current work, changes in damping coefficient and stiffness according to squeeze film phenomenon are studied and their effects on resonator overall quality factor are discussed. Analytical equations present that due to very high stiffness of the structure, the squeeze film damping and its related frequency shift would be negligible. Based on the extracted equations in this paper, there is no need for costly vacuum encapsulation technologies for this kind of resonators for increasing their quality factor.

۱- مقدمه

در سال های اخیر، پیشرفت های خیره کننده تکنولوژی سیستم های میکروالکترومکانیکی (MEMS) سیستمهای زیستی تا ساختار فرستنده - گیرنده ها را با تحولات چشمگیری مواجه کرده است [۱-۳]. در میان تمامی ابزارهای RF MEMS، نوسانگرها جایگزین بسیاری از ادوات روی بورد گردیده و قادرند اغلب بلوک های پایه ای و مهم فرستنده - گیرنده ها را از قبیل نوسان سازها، فیلترها، میکسرها و غیره را دچار تغییرات قابل توجهی نمایند. این توانایی ها در اثر ویژگی های جالب توجه این ابزارها از قبیل ضریب کیفیت (Q) بسیار بالا، ابعاد بسیار کوچک، تلفات جاندوزی اندک و مصرف توان بسیار کم است [۴]. در این مورد، این ابزارها را حتی می توان به عنوان پردازنده های سیگنال الکترومکانیکی پیشرفت به کار برد [۵].

با این حال، متأسفانه نوسانگرهای RF MEMS دارای برخی مشکلات مانند قابلیت اطمینان کم، نیاز به ولتاژ تحریک نسبتاً بزرگ، مقاومت حرکتی بالا و نیاز به بسته بندی خلاصه برای حصول Q بزرگ هستند. نوسانگر RF MEMS دیسک حالت محیطی با تکیه گاه حلقوی نازک بسیاری از این مشکلات را مرتفع نموده است [۷-۶].

با توجه به اینکه این ساختار، یک دیسک میان تهی بوده که در حدود یک میلیارد بار در ثانیه منبسط و منقبض می شود، هوای پیramon می تواند تلفات آن را افزایش داده، Q آن را کم کرده و حتی فرکانس طبیعی ارتعاش آن را تغییر دهد. این مشکل را، که تلفات فشردگی لایه نازک نام دارد، می توان با بسته بندی خلاصه که متأسفانه یک فرآیند پرهزینه است، حل نمود [۸-۱۰].

در تحقیقات گذشته این موضوع مورد بررسی قرار گرفته است. در [۱۱] مدل تحلیلی برای تلفات فشردگی لایه نازک در نوسانگرهای میله ای ارائه شده و افت ضریب کیفیت شدید توسط این پدیده مشاهده شده است. در مرجع [۱۲] تلفات فشردگی لایه نازک در نوسانگرهای میله ای به کمک روش تحلیل مولکولهای آزاد بررسی شده که این روش تنها برای فشارهای بسیار پایین و نزدیک به خلاصه کامل مفید است. در مراجع متعدد دیگری نیز به بررسی تلفات فشردگی لایه نازک در نوسانگرهای میکروالکترومکانیکی مختلف پرداخته شده است [۱۳-۱۵].

این مقاله به مطالعه و جمع بندی این اثر بر روی نوسانگر دیسک حالت محیطی با تکیه گاه حلقوی می پردازد. مقاله ای حاضر به صورت زیر سازماندهی شده است: پس از ارائه یک مقدمه در بخش اول، مختصراً در خصوص ساختار نوسانگر و عملکرد آن در بخش دوم ارائه شده است. حل تحلیلی اثر تلفات فشردگی لایه نازک در بخش سوم آمده است. تلفات ناشی از فشردگی لایه نازک و تغییرات فرکانس ارتعاش طبیعی نوسانگر ناشی از این پدیده در بخش چهارم بررسی شده و پس از آن یک جمع بندی ارائه شده است.

۲- ساختار و عملکرد نوسانگر

همانگونه که در شکل (۱) نشان داده شده است، نوسانگر دیسک حالت محیطی با تکیه گاه حلقوی، یک دیسک میان تهی است که در حالت دوم محیطی ارتعاش نموده و در محل حلقه میانی بدون جابجایی خود، به زیرآیند متصل شده است. با توجه به اینکه جابجایی نوسانگر در محل تکیه گاه بسیار ناچیز و قابل صرفنظر است، مقدار بسیار ناچیزی از انرژی نوسانگر در حین ارتعاش از طریق تکیه گاه تلف شده و بنابراین شرایط تعليق مجازی فراهم می شود. این نوسانگر از طریق الکترودهای تحریک و به کمک خازن بین این الکترودها و نوسانگر به ارتعاش درآمده و با توجه به وجود منبع بایاس DC یک خازن متغیر با زمان را تشکیل می دهد. مشابه با این خازن، در قسمت خروجی نوسانگر نیز وجود داشته و بنابراین یک جریان خروجی تولید می شود. هر گاه فرکانس سیگنال تحریک برابر با فرکانس طبیعی

نوسانگر باشد، دامنه این ارتعاشات به شدت افزایش یافته و جریان خروجی بزرگی ایجاد می شود. معادله‌ی غیرخطی ارتعاش نوسانگر در حالت نوسان آزاد به صورت زیر می باشد [۶].

$$m_r \ddot{u} + c_r \dot{u} + k_r u + \epsilon u^3 = 0 \quad (1)$$

که در آن k_r ، m_r ، ϵ و u به ترتیب جرم موثر، ضریب میرایی، سختی موثر، ضریب سختی غیر خطی و معادله ارتعاش می باشند. در صورتی که دامنه ارتعاش در مقایسه با ابعاد نوسانگر بسیار کوچک باشد، ϵu^3 مقدار بسیار کوچکی بوده و قابل صرفنظر کردن است. بنابراین معادله را می توان خطی نمود که در نتیجه فرم کلی پاسخ آن به صورت زیر تبدیل می شود:

$$u_r(r, t) = R(r) e^{j \omega_r t} \quad (2)$$

که ω_r و $R(r)$ به ترتیب فرکانس ارتعاش زاویه‌ای و تابع ارتعاش هستند که از معادله زیر بدست می آیند:

$$r^2 \frac{d^2 R(r)}{dr^2} + r \nu \frac{d R(r)}{dr} + (k_r^2 r^2 - \nu) R(r) = 0 \quad (3)$$

که r شاعع در دستگاه مختصات استوانه‌ای و ν نسبت پواسون بوده و k_r از رابطه‌ی زیر بدست می آید:

$$k_r = 2\pi f_r \sqrt{\frac{\rho_0 (1-\nu^2)}{E}} \quad (4)$$

که f_r فرکانس ارتعاش ساختار، ρ_0 چگالی و E مدول یانگ ماده سازنده (که در این طراحی پلی سیلیکون است) است. معادله‌ی دیفرانسیل فوق را می توان با شرایط مرزی زیر حل کرد:

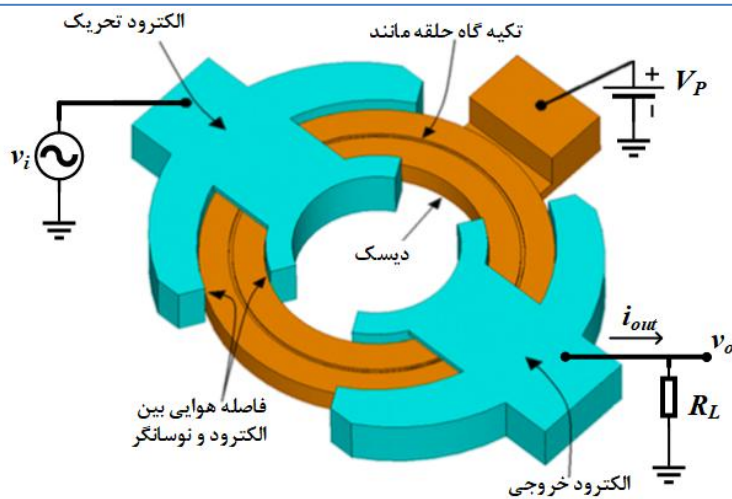
$$R(0) = 0, \left. \frac{d R(r)}{dr} \right|_{r=0} = \left. \frac{R(r)}{r} \right|_{r=0} = k_r \cdot \xi_0 \quad (5)$$

که ξ_0 ضریب نرمال سازی بوده که میزان بیشینه‌ی $R(r)$ را تنظیم می کند. حل معادله‌ی (۳) با شرایط مرزی داده شده در معادله‌ی (۵) به صورت زیر است:

$$R(r) = \frac{-1}{14.4} \left[\frac{\left[a((k-1)Y_p(q)) + 3k(Y_{p+1}(q)) - 2apY_p(q) \right] J_p(kr) + \dots}{\left[a(\nu-1)J_p(q) + 3k(J_{p+1}(q)) - 2ap(J_p(q)) \right] Y_p(kr)} \right] C r^b \quad (6)$$

که (J_x) و (Y_x) به ترتیب توابع بسل از نوع ۱ و ۲ از مرتبه‌ی x بوده و سایر ثوابت به شرح زیرند:

$$\begin{cases} p = \frac{1}{2} \sqrt{5\nu^2 - 2\nu + 1}, q = \frac{3k}{250000}, a = 125000, m = 0.5(1+\nu), b = 0.5(1-\nu) \\ C = \frac{-1}{14.4} \left(\frac{1}{k} 3^m 500^{-\nu} \right) \\ \left(J_{p+1}(q) \right) \left(Y_p(q) \right) - \left(Y_{p+1}(q) \right) \left(J_p(q) \right) \end{cases} \quad (7)$$



شکل (۱). نمای سه بعدی نوسانگر دیسک حالت محیطی با تکیه گاه حلقوی به همراه کتروودهای تحریک، خروجی و بایاسچ [۶]

برای مدلسازی و ارزیابی ساختار نوسانگر، محاسبه ثابت فنر معادل و جرم مؤثر آن در شرایط ارتعاش آزاد ضروری است. این پارامترها

به صورت زیر محاسبه می شوند [۱۶]:

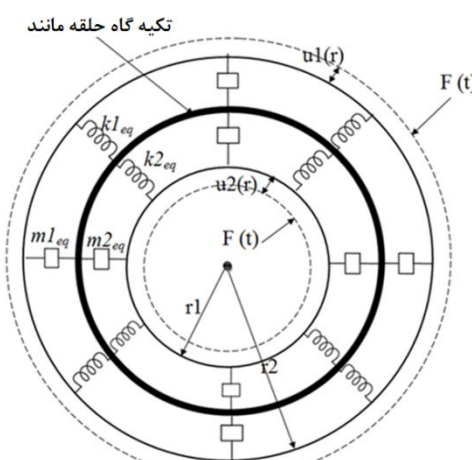
$$m_r = \frac{2\pi\rho_0 h \int_{r_{in}}^r r R^2(r) dr}{R^2(r)} \quad (8)$$

$$k_r = \frac{\int_0^{2\pi} \int_0^h \int_{r_{in}}^{r_{anchor}} \frac{E}{1-\nu^2} \left(\frac{\partial^2 R(r)}{\partial r^2} + \frac{\nu}{r} \frac{\partial R(r)}{\partial r} - \frac{\nu}{r^2} R(r) \right) r dr d\phi dz}{\int_{r_{in}}^{r_{anchor}} \frac{\partial R(r)}{\partial r} dr} \quad (9)$$

فرکانس ارتعاش طبیعی ساختار نیز از رابطه زیر قابل حصول خواهد بود:

$$f_r = \frac{1}{2\pi} \sqrt{\frac{k}{m_r}} \quad (10)$$

بنابراین، ارتعاش ایده‌آل ساختار نوسانگر بدون در نظر گرفتن تلفات را توسط المان‌های فشرده می‌توان مانند شکل ۲ مدلسازی کرد.



شکل (۲). مدل فشرده خطی سازی شده نوسانگر دیسک حالت محیطی ایده‌آل بدون تلفات [۵]

۳- اثر فشردگی لایه نازک

همانگونه که پیشتر اشاره شد، یکی از روندهای اساسی تکنولوژی در نوسانگرهای میکرو الکترومکانیکی افزایش فرکانس ارتعاش طبیعی آنها به همراه افزایش ضریب کیفیت Q است. روش های متعددی در مقالات برای افزایش فرکانس طبیعی نوسانگرها ارائه شده است که یکی از آنها کوچکتر کردن ابعاد است. هنگامی که یک سازه از نظر ابعاد کوچکتر می شود، اثرات جریان گازهای پیرامونی در دینامیک ارتعاشات آن پر اهمیت تر می گردد. گرانروی گاز، ضریب میرایی کلی نوسانگر را افزایش داده و فشردگی گاز حتی می تواند فرکانس ارتعاشات آن را نیز تغییر دهد. بنابراین مطالعه اثرات فشردگی لایه نازک برای بررسی لزوم بسته بندی خلا ساختار، ضروری است.

از معادله پیوستگی در شرایط هم دما، تعادل زیر در جریان سیال را برای نوسانگر می توان در نظر گرفت [۱۱].

$$\nabla P - \eta \frac{\partial^2 v}{\partial r^2} + \rho \frac{\partial v}{\partial t} = 0 \quad (11)$$

که P فشار، v سرعت ذرات و ρ چگالی گاز است. در معادله فوق فرض شده است که مسیر آزاد متوسط مولکول های گاز، بزرگتر از فاصله هوایی بین نوسانگر و الکترودها بوده و همچنین نوسانگر با دامنه کوچکی نسبت به این فاصله هوایی ارتعاش می کند. به این ترتیب رفتار غیرخطی فشردگی لایه نازک خطی سازی شده و معادله را تحلیل نموده ایم. با توجه به محاسبات قبلی، دامنه ارتعاش نوسانگر حدود یک درصد فاصله هوایی بوده و با توجه به مسیر آزاد متوسط مولکول های هو شرایط فوق برقرار می باشند. با توجه به اینکه حل های این معادلات ترکیب پیچیده ای از توابع بسل است، حل معادلات را به صورت جزء به جزء ارائه داده ایم. بنابراین، شتاب و قسمت دوم معادله به صورت زیرند [۱۷]:

$$\frac{\partial v}{\partial t} = -4\pi^2 f_r^2 u(r, t) \quad (12)$$

$$\frac{\partial^2 v}{\partial r^2} = -\frac{\pi f_r}{36} \sin(2\pi f_r t) \left\{ 5Cr^b \left[\begin{array}{l} \left(3kY_{p+1}(q) - 2apY_p(q) + a(k-1)Y_p(q) \right) \times \\ \left(k \left(kJ_p(kr) - \frac{(p+1)J_{p+1}(kr)}{r} \right) \right) + \\ \left(\frac{pJ_p(kr)}{r^2} \right) + \left(p \left(kJ_{p+1}(kr) - \frac{(pJ_p(kr))}{r} \right) \right) \end{array} \right] \right\} +$$

$$+ 10bCr^{b-1} \left[\begin{array}{l} \left(3kJ_{p+1}(q) - 2apJ_p(q) + a(v-1)J_p(q) \right) \times \\ \left(k \left(kY_p(kr) - \frac{(Y_{p+1}(kr)(p+1))}{r} \right) \right) + \\ \left(\frac{pY_p(kr)}{r^2} \right) + \left(p \left(kY_{p+1}(kr) - \frac{(pY_p(kr))}{r} \right) \right) \end{array} \right]$$

$$+ \left\{ 10bCr^{b-1} \left[\begin{array}{l} \left(kJ_{p+1}(kr) - \frac{(pJ_p(kr))}{r} \right) \times \left(3kY_{p+1}(q) - 2apY_p(q) + a(k-1)Y_p(q) \right) + \\ \left(kY_{p+1}(kr) - \frac{(pY_p(kr))}{r} \right) \times \left(3kJ_{p+1}(q) - (2ap + a(1-v))J_p(q) \right) \end{array} \right] \right\}$$

$$- \left\{ 5(b-1)bCr^{b-2} \left[\begin{array}{l} J_p(kr) \left(3kY_{p+1}(q) - (2ap + a(1-k))Y_p(q) \right) + \\ Y_p(kr) \left(3kJ_{p+1}(q) - (2ap + a(1-v))J_p(q) \right) \end{array} \right] \right\}$$

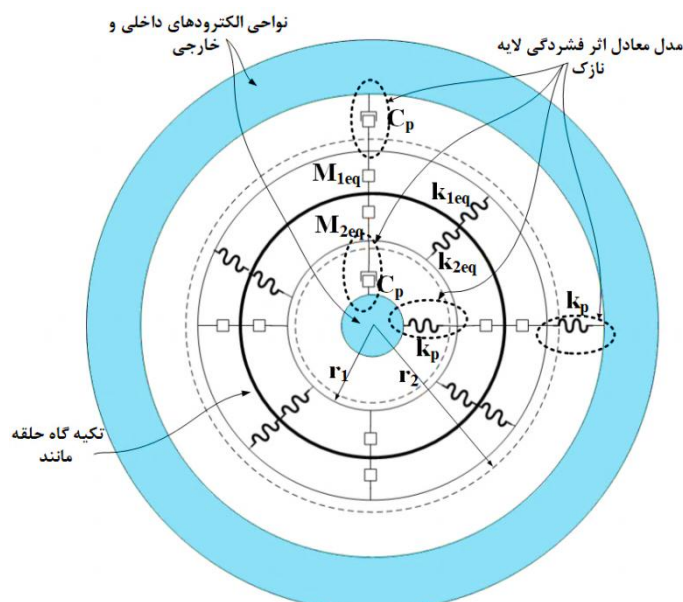
در معادلات و مدل‌سازی فوق فقط ارتعاشات جانبی و هوای محصور بین الکترودها و نوسانگر لحاظ شده و از ارتعاشات صفحات بالایی و پایینی نوسانگر و هوای موجود در این نواحی صرفنظر شده است. این فرض به دو دلیل زیر قابل قبول است:

(الف) با توجه به ابعاد نوسانگر و بر اساس محاسبات صورت گرفته در مرجع [۶]، دامنه ارتعاش صفحات فوقانی و تحتانی بسیار کمتر از صفحه جانبی بوده و در حدود کمتر از یک دهم آن مقدار می‌باشد. این امر موجب کاهش اثر فشردگی لایه نازک ناشی از این صفحات می‌شود.

(ب) یکی از مهمترین پارامترهای تاثیرگذار بر تلفات فشردگی لایه نازک، عکس فاصله هوایی بین دیواره‌های متحرک و ثابت است. برای نوسانگر ارائه شده، فاصله هوایی بین الکترودها و نوسانگر ۱۰۰ نانومتر است که در مقایسه با فاصله‌های صفحات بالا و پایین (صفحه پایین ۱ میکرومتر و صفحه بالا بسته به سیستم بسته‌بندی حداقل ۱ میکرومتر) عدد بسیار کوچکی است. بنابراین صرفنظر کردن از تلفات ناشی از ارتعاش صفحات بالا و پایین نوسانگر فرض قابل قبولی می‌باشد.

۴- مدل‌سازی اثرات فشردگی لایه نازک

اثرات فشردگی لایه نازک را می‌توان به صورت یک فنر موازی با یک المان میرایی مدل کرد. بنابراین، مدل فشرده کلی نوسانگر شامل مدل نوسانگر ایده‌آل به همراه اثر فشردگی لایه نازک را می‌توان مانند شکل (۳)، در نظر گرفت. در این شکل، میرایی ناشی از گرانزوی گاز به صورت یک المان تلف‌کننده انژی خطی سازی شده، ناشی از حرکت ساختار در درون گاز لحاظ شده است. بنابراین، هر چقدر که گرانزوی گاز بیشتر باشد میرایی نیز افزایش خواهد یافت. علاوه بر این، دستیابی به دامنه ارتعاش کمتر ناشی از طراحی ساختار با سختی بیشتر، منجر به کاهش تلفات و افزایش ضربی کیفیت Q شده اما به قیمت کاهش بهره هدایت انتقالی نوسانگر (i_o/v_i) و افزایش مقاومت حرکتی آن تمام خواهد شد.



شکل (۳). مدل فشرده نوسانگر شامل اثرات فشردگی لایه نازک

المان فنر معادل در شکل (۳)، اثر فشردگی گاز در نتیجه جریان سیال در فاصله هوایی کوچک را مدل می کند. با حرکت سازه، گاز محصور در فاصله هوایی بین الکترود و نوسانگر فشرده شده و در برابر حرکت نوسانگر مقاومت می کند. این مقاومت، نیاز به نیروی بیشتری جهت دستیابی به دامنه ارتعاش یکسان داشته و بنابراین آن را می توان به صورت یک فنر که در قسمت الکترود ثابت شده است، مدل نمود. با توجه به دامنه حرکت بسیار اندک نوسانگر، به سهولت می توان از ثابت فنری غیرخطی فشردگی لایه نازک صرفنظر نمود.

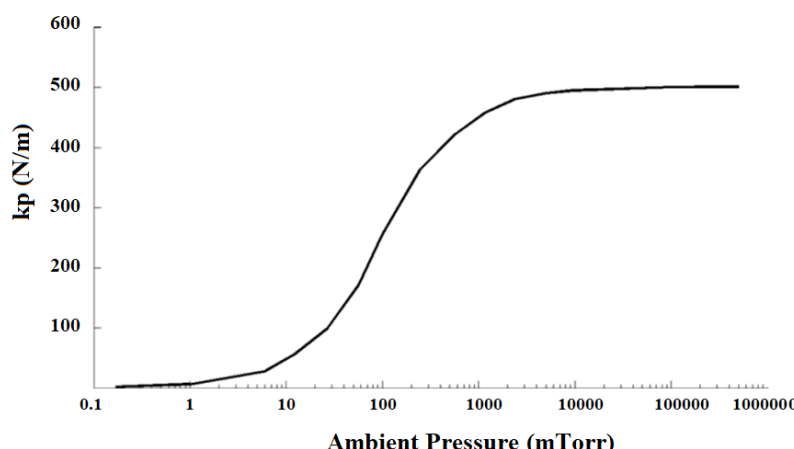
علاوه، این فنر را می توان به صورت موازی با فنر اصلی ناشی از سختی ساختار در نظر گرفت. بر اساس معادله (۹) و مدل جدید ارائه شده در شکل (۳)، فرکانس ارتعاش آزاد نوسانگر به همراه این اثر تغییر خواهد کرد. این اثر همچنین می تواند منجر به کاهش Q کلی نوسانگر شود، زیرا یک مؤلفه هوایی با سختی اندک و لختی بالا در تعیین فرکانس نوسان ساختار مؤثر می شود در شرایط نبود این اثر، فرکانس ارتعاش نوسانگر تنها توسط ساختار مکانیکی بسیار محکم و سخت ماده سازنده تعیین می گردد. ثابت فنر معادل اثر فشردگی گاز را از رابطه زیر می توان محاسبه کرد.

$$k_p = \frac{PA}{R_0} \quad (14)$$

همچنین میرایی ناشی از فشردگی لایه نازک را از معادله انرژی می توان به صورت زیر بدست آورد:

$$c_p = k_p \sqrt{\frac{m_r}{k_r}} \quad (15)$$

برای نوسانگرهای با فنرهای با سختی کم، Q و فرکانس ارتعاش را می توان به کمک تنظیم فشار گاز پیرامونی کنترل کرد (شکل (۴)). می توان مشاهده کرد که در نوسانگرهای با سختی و Q بسیار بالا، اثر تغییر فرکانس ناشی از فشردگی لایه نازک بسیار اندک بوده و کمتر 13 ppm خواهد بود. شکل (۵)، نتایج شبیه سازی تحلیل مودال با پیش تشن را برای محاسبه تغییرات فرکانس ارتعاش بر حسب فشار هوای محیط نشان می دهد. لازم به ذکر است که مقادیر ارائه شده در این شکل مربوط به نوسانگر RF MEMS با فرکانس 940 MHz می باشد. همچنین میرایی ناشی از اثر فشردگی لایه نازک تنها 84/61 nNs/m است که در صورت در نظر نگرفتن سایر منابع تلفات انرژی برای نوسانگر مذکور، ضریب کیفیتی به بزرگی ۳۷۰۰۰ را در فشار محیط نتیجه می دهد (شکل (۶)).



شکل (۴). ثابت فنر معادل اثر فشردگی لایه نازک بر حسب فشار هوای محیط نوسانگر

یک روش دیگر برای محاسبه ضریب کیفیت ناشی از اثر فشردگی لایه نازک، محاسبه انرژی کسب شده توسط مولکولهای گاز پیرامون نوسانگر است. دیسک با نوسانات خود به مولکولهای هوا در اطراف خود ضربه زده و بسته به لحظه برخورد، سرعت خود را به آنها انتقال می‌دهد. می‌توان فرض کرد که سرعت متوسط گاز هوای اطراف دیسک به همان سرعت دیسک بالغ می‌گردد. در فشارهای پایین، انرژی جنبشی مولکولهای گاز به صورت زیر بدست می‌آید:

$$E_c = \frac{1}{4} m R_0^2 \omega_r^2 \quad (16)$$

انرژی ارتعاش نوسانگر نیز برابر است با:

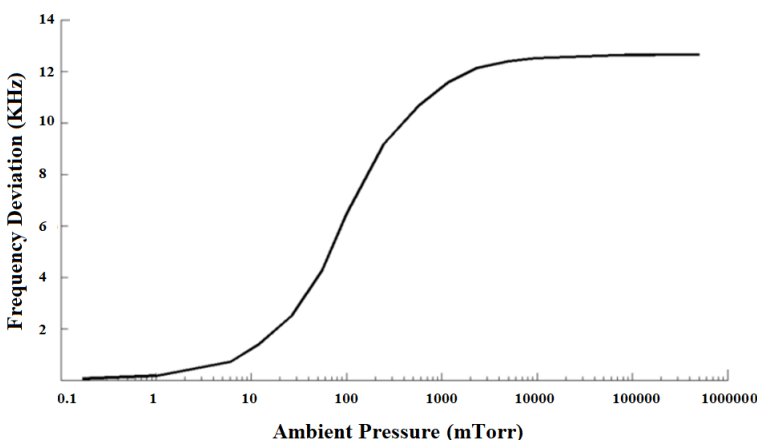
$$E_r = \frac{1}{4} m_r R_0^2 \omega_r^2 \quad (17)$$

ضریب کیفیت را نیز می‌توان از رابطه زیر حساب کرد:

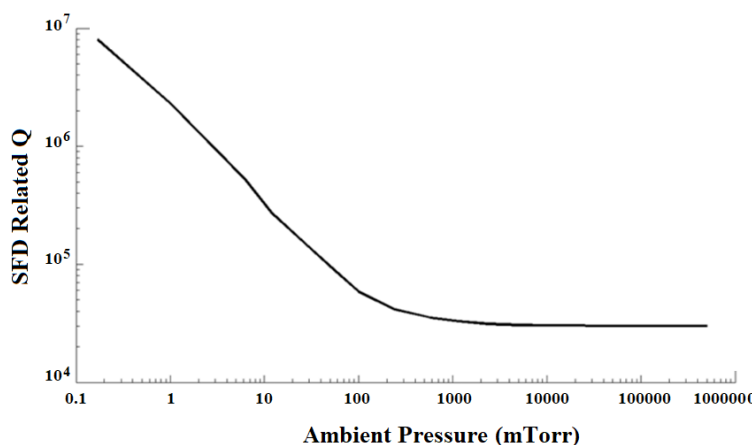
$$Q = 2\pi \frac{E_r}{E_c} \quad (18)$$

با توجه به محاسبات صورت گرفته، ضریب کیفیت در فشار محیط برابر با ۴۱۱۰۰ خواهد شد که همخوانی مناسبی با محاسبات انجام شده غیرخطی دارد.

نتایج حاصل از شبیه‌سازی‌های صورت گرفته توسط نرم افزار المان محدود MATLAB و محاسبات صورت گرفته در ANSYS می‌دهند که میرایی ناشی از فشردگی لایه نازک، محدود‌کننده اصلی ضریب کیفیت این نوسانگرها نیست. بنابراین برای این ساختار جهت حفظ Q بالا، بسته‌بندی خلاصه ضرورت ندارد.



شکل (۵). انحراف فرکانس ارتعاش طبیعی نوسانگر بر حسب فشار هوایی محیط. همانگونه که مشخص شده است، تا زمانی که شرایط فشردگی معتبر باشد، انحراف فرکانس کوچک خواهد ماند.



شکل (۶). Q ناشی از اثر فشردگی لایه نازک بر حسب فشار پیرامون

۵- نتیجه گیری

در این مقاله یک مدل تحلیلی برای بررسی اثر فشردگی لایه نازک در نوسانگرهای دیسک حالت محیطی با تکیه گاه حلقوی ارائه شده است. مدل ارائه شده، شامل یک فنر، ناشی از فشردگی گاز محصور بین الکتروودها و نوسانگر، موازی با یک المان میرایی ناشی از گرانزوی گاز است. همچنین این مطالعه تحلیلی نشان داد که تنظیم فشار پیرامونی نوسانگر می تواند Q و فرکانس ارتعاش را تغییر دهد. علاوه بر این، نتایج تحلیل های نشان داده شده در مقاله به این نتیجه منجر شد که این اثرات برای نوسانگرهای بسیار سخت با ثابت فنر و فرکانس های ارتعاش بسیار بالا، کوچک و قابل صرف نظر است. بنابراین برای این نوسانگرها فرآیند پر هزینه بسته بندی خلاصه ضروری نیست.

۶- مراجع

- [1] Tripathy H. P., Pattanaik P., Kamilla S. K., and Tripathy R. K., “ A simulation approach to study the effects of ultrasonic MEMS based receiver for blood glucose sensing applications,” IEEE Sens. Lett., vol. 1, no. 5, pp. 1-4, 2017.
- [2] C.T.-C. Nguyen, ” MEMS technology for timing and frequency control,” IEEE T Ultrason Ferr., vol. 54, no. 2, pp. 251 – 270 , 2007.
- [3] Wei, Mian, Adrian Avila, Ivan Rivera, Masoud Baghelani, and Jing Wang. "ZnO on nickel RF micromechanical resonators for monolithic wireless communication applications." Journal of Micromechanics and Microengineering 27, no. 5 (2017): 055006.
- [4] Y.-W. Lin, S. Lee, S.-S. Li, Y. Xie, Z. Ren, C.T.-C. Nguyen, ” Series-Resonant VHF Micromechanical Resonator Reference Oscillators,” IEEE J Solid-ST Circ., vol. 39, no. 12, pp. 2477-2491, 2004.
- [5] M. Baghelani, A. Ebrahimi, H. Badri Ghavifekr, ” Design of RF MEMS Based Oscillatory Neural Network for Ultra High Speed Associative Memories,” Neural Process Lett., vol. 40, no. 1, pp. 93-102, 2014.
- [6] M. Baghelani, H. Badri Ghavifekr, A. Ebrahimi, ” Ring shape anchored RF MEMS contour mode disk resonator for UHF communication applications,” Microsyst. Technol., vol. 16, no. 12, pp. 2123-2130, 2010.

- [7] M. Baghelani, H. Badri Ghavifekr, A. Ebrahimi," Analysis and suppression of spurious modes of the ring shape anchored RF MEMS contour mode disk resonator," *Microsyst. Technol.*, vol. 17, no. 11, pp. 1599-1609, 2011.
- [8] A. Somà, G. De Pasquale," Numerical and experimental comparison of MEMS suspended plates dynamic behaviour under squeeze film damping effect," *Analog Integr Circ Sig Process.*, vol. 57, no. 3, pp. 213-224, 2008.
- [9] W.-M. Zhang, G. Meng," Nonlinear Dynamic Analysis of Electrostatically Actuated Resonant MEMS Sensors Under Parametric Excitation," *IEEE Sens J.*, vol. 7, no. 3, pp. 370-380, 2007.
- [10] J. W. Lee, R. Tung, A. Raman, H. Sumali, J. P. Sullivan," Squeeze-film damping of flexible microcantilevers at low ambient pressures: theory and experiment," *J. Micromech. Microeng.*, vol. 19, pp. 1-14, 2009.
- [11] A. Kumar Pandey, R. Pratap," Effect of flexural modes on squeeze film damping in MEMS cantilever resonators," *J. Micromech Microeng.* vol. 17, no. 12, pp. 2475, 2007.
- [12] S. Hutcherson, W. Ye," On the squeeze-film damping of micro-resonators in the free-molecule regime," *J. Micromech Microeng.*, vol. 14, no. 12, pp. 1726, 2004.
- [13] Y. Mo, L. Du, B. Qu, B. Peng, J. Yang," Squeeze film air damping ratio analysis of a silicon capacitive micromechanical accelerometer," *Microsyst. Technol.*, 2017, DOI: 10.1007/s00542-017-3464-z
- [14] Y. Fang, P. Li, F. Yang, W. Zuo," Squeeze-film damping of circular microplates vibrating in a tilting motion," *Microfluid. Nanofluid.* 2016, DOI: 10.1007/s10404-016-1816-0
- [15] C. H. Chiang, M. C. Chou, L. Hsieh," Design and Characterization of a CMOS MEMS Capacitive Oscillator for Resonant Sensing in Liquids," *IEEE Sens. J.*, vol. 16, no. 5, pp. 1136-1142, 2016.
- [16] M. Baghelani, H. Badri Ghavifekr, A. Ebrahimi," Precise analytical evaluation of the ring shape anchored contour mode disk resonator for constructing a low noise UHF Pierce oscillator," *Microsyst Technol.*, vol. 19, no. 7, pp. 1087-1095, 2013.
- [17] C. Bourgeois, F. Porret, A. Hoogerwerf, "Analytical Modleling of Squeeze-Film Damping in Accelerometers," *international Conference on Solid-state Sensors and Actuators*, pp. 1117-1120 1997.